

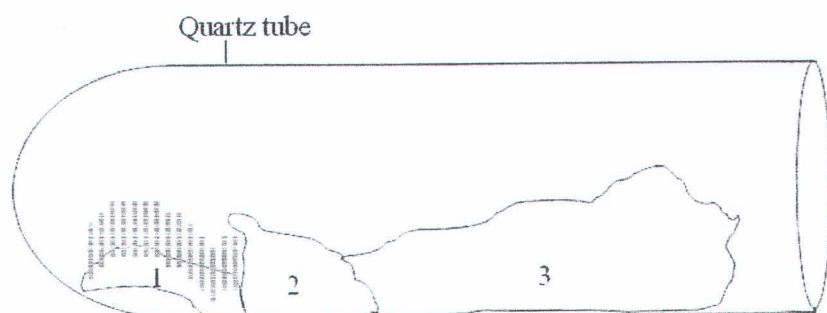
## บทที่ 4

### ผลการทดลองและวิเคราะห์ผลการทดลอง

ในบทนี้จะกล่าวถึงผลของการสังเคราะห์โครงสร้าง ZnO whiskers ที่เตรียมด้วยวิธีการออกซิเดชันด้วยกํล้อง stereo microscope และ SEM เพื่อวิเคราะห์สภาพพื้นผิว รูปร่าง และขนาดส่วนการวิเคราะห์ทางค์ประกอนทางเคมีได้ใช้เทคนิค EDS และได้นำโครงสร้าง ZnO whiskers แบบ W-ZnO ที่สังเคราะห์ขึ้นไปศึกษาสมบัติการตอบสนองต่อไออุทานอล เพื่อเป็นแนวทางในการประยุกต์ใช้เป็นอุทานอลเซนเซอร์ต่อไป โดยมีผลการทดลองและวิเคราะห์ผลการทดลองดังต่อไปนี้

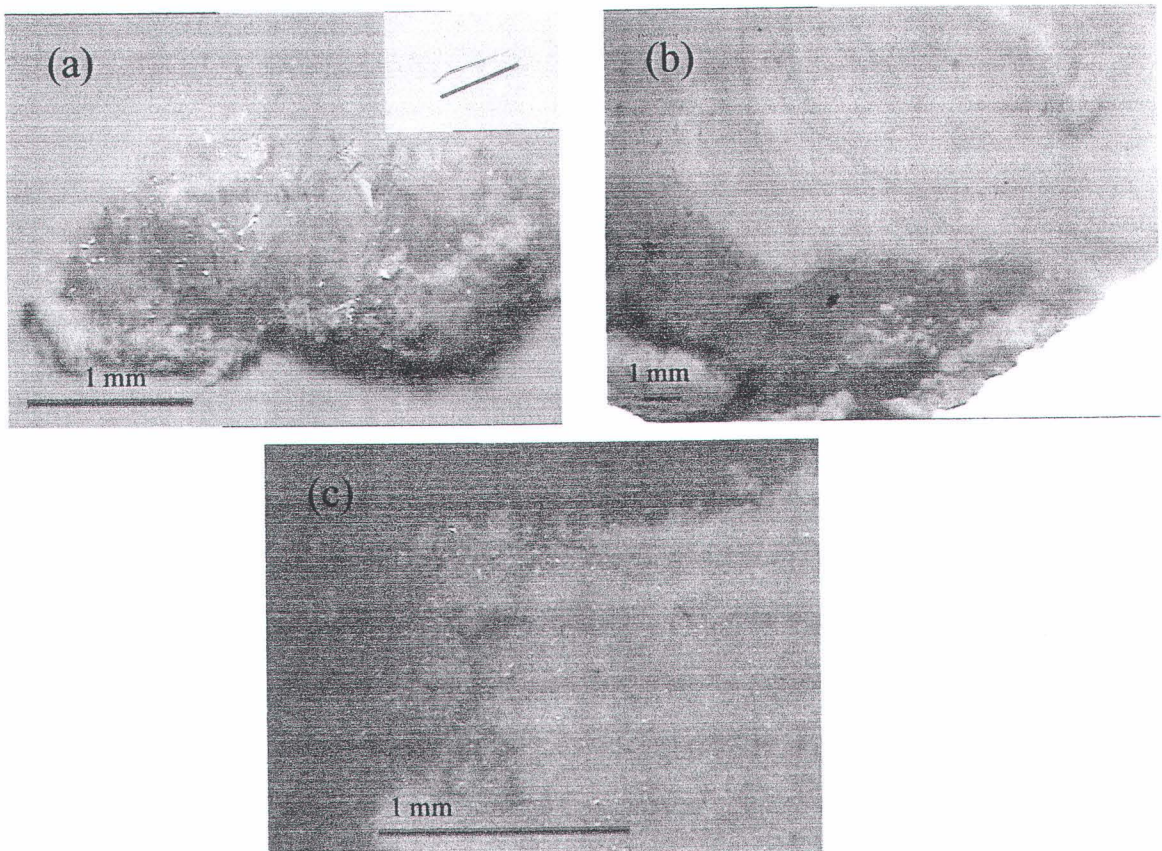
#### 4.1 ผลการวิเคราะห์โครงสร้างทางกายภาพด้วยกํล้อง Stereo Microscope

จากการนำผงซิงค์ปริมาณ 3, 3.5, 4, 4.5, 5, 5.5 และ 6 กรัม มาเผาในท่อ covariance ในเตาที่อุณหภูมิ 700°C เป็นเวลา 2 ชั่วโมงแล้ว พบว่าภายในผนังท่อ covariance ถูกปักคลุมไปด้วยชั้นสีขาว และสารที่เกิดขึ้นภายในท่อ covariance สามารถแยกได้เป็น 3 ส่วน โดยเรียงลำดับจากก้นท่อไปยังปากท่อ ดังนี้ ส่วนที่หนึ่ง มีลักษณะเป็นเส้นใย ๆ ซึ่งสามารถมองได้ด้วยตาเปล่าอย่างชัดเจน ต่อมาส่วนที่สองมีลักษณะเป็นก้อนสีขาว และส่วนที่สามมีลักษณะเป็นปุยสีขาว บริเวณส่วนต่างๆ ภายในท่อแสดงดังรูปที่ 4.1



รูปที่ 4.1 แผนผังของ ZnO whiskers ที่เกิดขึ้นในส่วนต่าง ๆ ของท่อ covariance

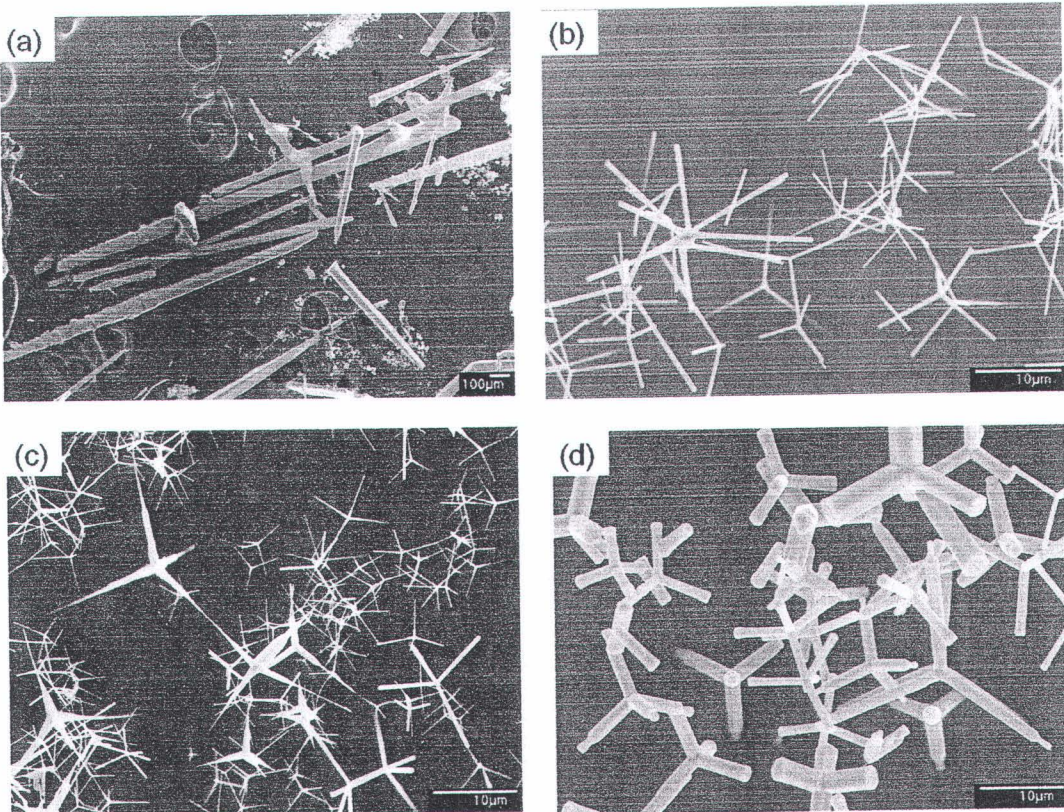
ซึ่งเมื่อนำสารทั้งสามส่วนไปส่องด้วยกล้อง stereo microscope ได้ผลดังรูปที่ 4.2



รูปที่ 4.2 ZnO whiskers ที่เกิดขึ้นบริเวณ (a) ส่วนที่ 1, (b) ส่วนที่ 2 และ (c) ส่วนที่ 3

#### 4.2 ผลการวิเคราะห์โครงสร้างทางกายภาพด้วยกล้อง SEM

เมื่อนำสารที่ได้ทั้ง 3 ส่วนไปวิเคราะห์โครงสร้างทางกายภาพด้วยกล้อง SEM พบว่า ZnO whiskers ที่ได้มีลักษณะแตกต่างกัน ดังรูปที่ 4.3 ซึ่งความแตกต่างนี้เป็นในเรื่องของรูปร่างขนาด และความสม่ำเสมอของขนาด ZnO whiskers โดยเฉพาะส่วนที่ 3 ที่มีลักษณะเป็นปุยสีขาว ดังรูปที่ 4.2 (c) ซึ่งสามารถสังเกตได้ด้วยตาเปล่าอย่างชัดเจน แต่เมื่อนำวัสดุไปเขี่ยดูพบว่าสารที่ได้มีลักษณะคล้ายกับมีการแยกชั้น ซึ่งเกิดจากการที่สารหรือ ZnO whiskers ที่ได้มีขนาดไม่เท่ากัน ทั้งหมด โดยผลจาก SEM พบว่าในส่วนที่ 3 นี้ สามารถแบ่งได้เป็น 2 ชั้น คือ ชั้นนอก และชั้นใน ซึ่งพบว่าชั้นนอกของส่วนที่ 3 จะมีรูปร่างที่สวยงามกว่าชั้นใน



รูปที่ 4.3 ลักษณะของนาโน ZnO whiskers ที่ได้บริเวณส่วนต่าง ๆ ของสารที่เผาได้ตาม เงื่อนไขที่อุณหภูมิ  $700^{\circ}\text{C}$  (a) ส่วนที่ 1 (b) ส่วนที่ 2 (c) ส่วนที่ 3 ขั้นนอก (d) ส่วนที่ 3 ขั้นใน

จากรูปที่ 4.3 จะเห็นได้ว่า ในส่วนที่ 1 ZnO whiskers ที่เกิดขึ้นจะมีลักษณะเป็นแท่งยาว คล้ายดินสอ ( $W\text{-ZnO}$ ) ซึ่งมีขนาดใหญ่เมื่อเทียบกับส่วนอื่นและขนาดก็แตกต่างกัน ซึ่งง่ายต่อการแยกมาใช้งานและการนำผลึกเชิงเดี่ยวมาประยุกต์เป็นเซนเซอร์อาจมีประโยชน์ในการช่วยทำให้เข้าใจพื้นฐานเกี่ยวกับพฤติกรรมการตรวจจับไออกทานอล ส่วนที่ 2 ที่มีลักษณะเป็นก้อนสีขาวที่ค่อนข้างอัดแน่น ประกอบไปด้วย tetrapod whiskers ( $T\text{-ZnO}$ ) ที่มีขนาดเป็นรูปหกเหลี่ยมเท่ากัน ตั้งแต่โคนจนถึงปลาย ในส่วนที่ 3 จะมีลักษณะคล้ายปุ๋ยสีขาวและค่อนข้างพรุน พบว่ามีการแบ่งเป็นสองชั้น โดยชั้นนอกจะมีความหนาประมาณ  $1 - 3 \text{ mm}$  ซึ่งประกอบไปด้วย  $T\text{-ZnO}$  ที่มีลักษณะปลายแหลม ส่วนชั้นในจะประกอบไปด้วย  $T\text{-ZnO}$  ที่มีขนาดยาวและใหญ่กว่าชั้นนอก และมีขนาดเป็นรูปหกเหลี่ยมเท่ากันตั้งแต่โคนจนถึงปลายซึ่งมีขนาดใหญ่ที่สุดในบรรดา  $T\text{-ZnO}$  ทั้งหมด

จากผลการศึกษาลักษณะโครงสร้างทางกายภาพของ ZnO whiskers ที่สังเคราะห์ได้จากบริเวณต่างๆ ดังกล่าวมาแล้ว พบว่ามีขนาดความยาวและเส้นผ่านศูนย์กลาง สรุปได้ดังตารางที่ 4.1

ตารางที่ 4.1 ขนาดความยาวขาและเส้นผ่านศูนย์กลางของ ZnO whiskers บริเวณต่าง ๆ เพาที่ อุณหภูมิ 700°C

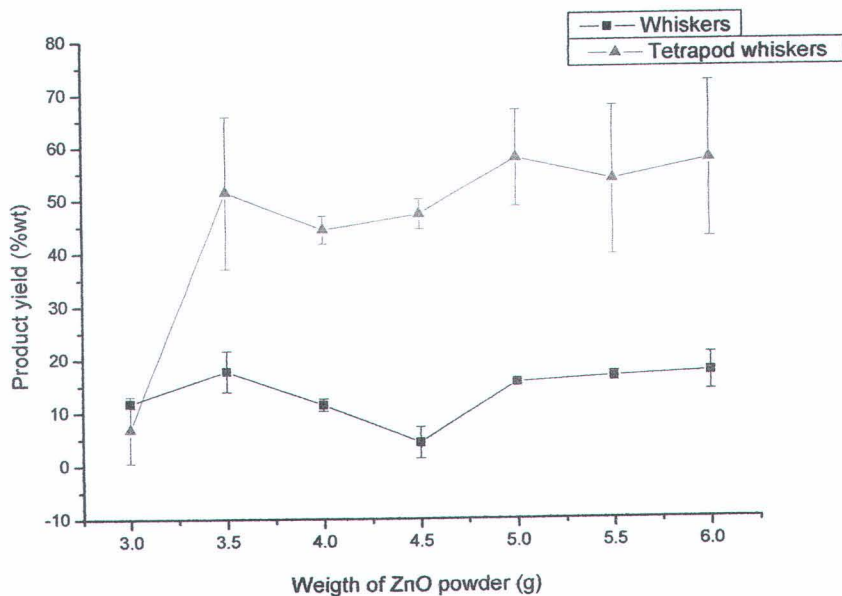
ส่วนที่	ประเภท	ความยาว (μm)		เส้นผ่านศูนย์กลาง (nm)	
		ช่วง (μm)	เฉลี่ย (μm)	ช่วง (μm)	เฉลี่ย (μm)
1	W-ZnO	0.38-4.59 mm	$1.38 \pm 0.80$ mm	30-140	$71 \pm 33$
2	T-ZnO	6.17-9.21	$7.34 \pm 0.87$	0.32-0.66	$0.49 \pm 0.09$
3(ชั้นนอก)	T-ZnO	3.15-8.87	$4.77 \pm 1.46$	โคน 0.43-0.97	โคน $0.66 \pm 0.14$
				ปลาย 0.13-0.28	ปลาย $0.21 \pm 0.05$
3(ชั้นใน)	T-ZnO	4.26-10.63	$7.21 \pm 1.64$	0.67-2.64	$1.50 \pm 0.65$

#### 4.2.1 การศึกษาผลของเงื่อนไขที่เหมาะสมในการเตรียม ZnO whiskers โดยวิธีปฏิกริยา ออกซิเดชันในบรรยายกาศ

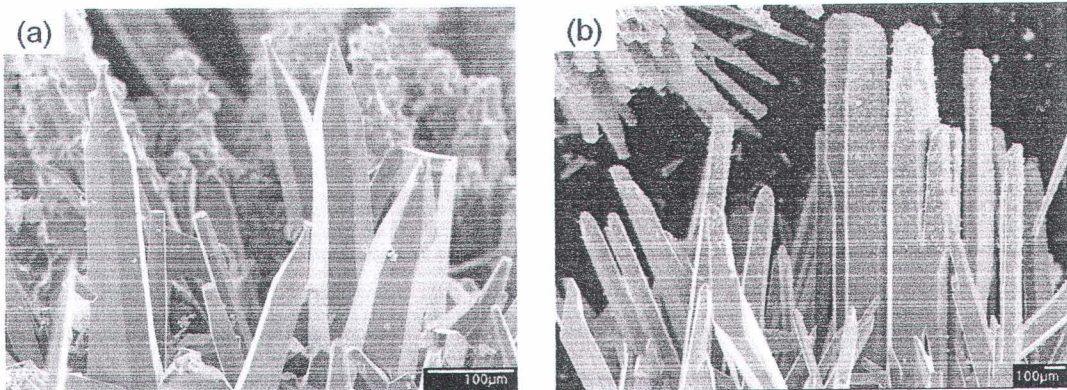
จากการเตรียม ZnO whiskers ด้วยปฏิกริยาออกซิเดชันในบรรยายกาศพบว่า ปริมาณผง ซิงก์ที่ใช้เพามีผลต่อปริมาณ ZnO whiskers ที่เกิดขึ้นดังสรุปไว้ในตารางที่ 4.2 และรูปที่ 4.4 ซึ่ง พบว่า T-ZnO มีอัตราการเกิดหรือให้ผลผลิตสูงจากผลการคำนวณหาค่าร้อยละโดยนำหนักของ ผลิตผลเมื่อใช้สารตั้งต้นตั้งแต่ 3.5 กรัม ขึ้นไป และมีแนวโน้มที่จะคงที่ สำหรับอัตราการเกิดของ W-ZnO นั้น ไม่มีการเปลี่ยนแปลงที่ชัดเจนเมื่อเพิ่มปริมาณสารตั้งต้น โดย W-ZnO ที่เกิดขึ้นส่วนใหญ่จะมีรูปร่างเป็นแท่งหกเหลี่ยม ซึ่งพบว่าเมื่อใช้ปริมาณผงซิงก์เพิ่มนี้จะส่งผลให้เกิด W-ZnO ที่สม่ำเสมออย่างดังแสดงในรูปที่ 4.5 เนื่องจากไปทำให้ความดันไออกซิเจนซึ่งจะมีค่าสูงขึ้นบริเวณ ที่เกิด W-ZnO ซึ่งทำให้พบร่องรอยเล็ก ๆ จำนวนมากเกินติดอยู่ที่ผิวของ W-ZnO

ตารางที่ 4.2 ค่าร้อยละโดยน้ำหนักของผลิตผลที่ได้จากเงื่อนไขต่างๆ

น้ำหนักผงสังกะสี (g)	ร้อยละโดยน้ำหนักของผลิตผลที่ได้	
	W-ZnO	T-ZnO
3.0	11.8±0.7	6.9±6.3
3.5	17.8±3.8	51.6±14.4
4.0	11.5±1.1	44.5±2.6
4.5	4.3±2.9	47.3±2.8
5.0	15.6±0.4	57.9±9.1
5.5	16.7±0.9	53.7±14.1
6.0	17.5±3.5	57.5±14.8



รูปที่ 4.4 ผลกระทบของปริมาณผงซิงค์ต่อปริมาณร้อยละของ ZnO whiskers ที่เกิดขึ้น

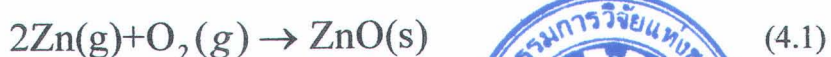


รูปที่ 4.5 แสดงลักษณะของ W-ZnO ที่เกิดขึ้นเมื่อใช้ปริมาณผงซิงก์ที่น้ำหนักต่างๆ  
(a) ผงซิงก์ 3.5 กรัม (b) ผงซิงก์ 5.0 กรัม

จากรูปที่ 4.4 และ 4.5 จะเห็นว่าในเงื่อนไขที่การใช้ผงซิงก์ในปริมาณน้อยที่ 3.5 กรัม จะทำให้ได้รูปร่างของ W-ZnO ที่สม่ำเสมอและให้ค่าร้อยละโดยน้ำหนักของผลิตผลมากที่สุด คือ ร้อยละ  $17.8 \pm 3.8$  โดยน้ำหนักซึ่งหมายความว่ารับคัดเลือก W-ZnO ไปประยุกต์เป็นอุตสาหกรรม เช่นเซอร์

#### 4.2.2 การศึกษาลักษณะเฉพาะของ ZnO whiskers ที่เตรียมโดยวิธีปฏิกิริยาออกซิเดชันในบรรยายการ

จากเงื่อนไขทั้งหมดที่ได้ทำการทดลอง ลักษณะโดยรวมทางกายภาพของ ZnO whiskers ที่ได้จะมีอยู่ 2 ประเภทคือ W-ZnO และ T-ZnO ซึ่ง W-ZnO จะมีลักษณะเป็นแท่งหกเหลี่ยมคล้ายดินสอ ดังรูปที่ 4.5 ซึ่งสามารถมองเห็นได้ด้วยตาเปล่า ดังรูปที่ 4.2 (a) ส่วน T-ZnO จะมีสีเขียวหรือเขียวขี้นออกมานอกห้องทิศทางทั้งสี่โดยสมมาตร 4.3 (b) - (d) เมื่อสังเกตด้วยตาเปล่าจะเห็นเป็นลักษณะปุกปุยคล้ายปุยนุ่นหรือสำลี ดังรูปที่ 4.2 (c) จากผลการทดลองข้างต้นพบว่าสาเหตุที่ได้ผลิตภัณฑ์ที่แตกต่างกันนั้นสืบเนื่องมาจากกลศาสตร์การโต (growth mechanism) ดังสมการที่ 2.1 โดยที่สิ่งสำคัญที่สุดของการเกิดโครงสร้าง ZnO whiskers เป็นผลมาจากการที่ผงซิงก์เกิดการออกซิไดซ์ด้วยออกซิเจน ดังสมการ



ในการทดลอง Zn ในสถานะก๊าซสามารถเกิดขึ้นได้จากการเผาโลหะ Zn ที่อุณหภูมิ  $700^{\circ}\text{C}$  ซึ่งมีค่ามากกว่าจุดหลอมเหลวของ Zn ทำให้ Zn metal กลایมมาเป็น Zn ในสถานะของเหลวและ Zn ในสถานะก๊าซ ซึ่งกระบวนการนี้จะเกิดขึ้นภายในห้องควบคุมที่ต้องการ ออกซิเจนที่ต้องการในการทำปฏิกิริยานั้นมาจากการดึงส่วนที่อยู่ในห้องควบคุมที่ต้องการเริ่มต้นและ O<sub>2</sub> ที่จะเข้าทางปากท่อเท่านั้น เมื่อเป็นเช่นนี้ O<sub>2</sub> concentration บริเวณปากท่อจะมีค่ามากกว่าบริเวณด้านในสุดของห้องท่อ ดังนั้น supersaturation ratio ของ ZnO<sub>(g)</sub> (ZnO ที่ยังไม่ตกผลึกหรือเรียกว่า ไอของ ZnO) บริเวณปากท่อจะมากกว่าด้านในสุดของห้องด้วยเหตุนี้รูปร่างของผลิตภัณฑ์ที่ได้จึงขึ้นอยู่กับ supersaturation ratio ของ ZnO<sub>(g)</sub> ในบริเวณต่าง ๆ ของห้องควบคุม ซึ่งจากสมการที่ 2.1 [21, 33, 34, 35] พนวณว่า ถ้าค่า supersaturation ratio มีค่าน้อย ๆ จะทำให้เกิดโครงสร้าง nanowires และถ้าค่า supersaturation ratio มีค่ามาก ๆ จะทำให้เกิดโครงสร้าง tetrapod whiskers เพราะฉะนั้น

ส่วนที่ 1 ด้านในสุดจะได้สารที่มีโครงสร้างเป็นเส้น (W-ZnO) เนื่องจากค่า supersaturation ratio มีค่าน้อย และสาเหตุที่มีขนาดใหญ่เนื่องจากผ่านนาน จึงทำให้โครงสร้าง nanostructures ไม่คงทน ไม่สามารถรักษาตัวได้

ส่วนที่ 2 ตรงกลางมีโอกาสเกิดเป็น T-ZnO เนื่องจากเกิดการควบแน่นของ ZnO<sub>(g)</sub> ในอากาศแล้วคล่องมากและไม่มี Zn ของเหลวที่ทำหน้าที่เป็นฐานในการเกิด nanowires เพราะฉะนั้น จึงเกิดเป็น tetrapod ก่อน แล้วจึงค่อย ๆ โตเป็น whisker ในแต่ละขา ในบริเวณนี้ค่า supersaturation ratio จะมีค่าปานกลาง แต่ก็มีพื้นที่ที่จะทำให้เกิดเป็น T-ZnO

ส่วนที่ 3 จะค่า supersaturation ratio มาก เนื่องจากเป็นส่วนที่อยู่ใกล้ปากท่อ ดังนั้นไอของ Zn จึงมีโอกาสเจอกับ O<sub>2</sub> มากที่สุดจึงเกิดเป็น T-ZnO ได้ง่ายที่สุด สำหรับขนาดที่แตกต่างกันของชั้นในกับชั้นนอกนั้น เนื่องมาจากเวลาในการเผา นั่นคือ ชั้นในจะเกิดขึ้นก่อนและเกิดการโตอย่างต่อเนื่อง

#### 4.2.3 ลักษณะโครงสร้างทางกายภาพของอุตสาหกรรมเซอร์ที่ประยุกต์มาจากการ W-ZnO เมื่อเจือด้วยอนุภาคนาโนของทองคำ

หลังจากที่ทำการสังเคราะห์และคัดเลือก W-ZnO เพื่อนำมาประกอบเป็นเซนเซอร์อุตสาหกรรมโดยการติดลงบนแผ่นรองรับที่ทำมาจากอะลูминิอา (Al<sub>2</sub>O<sub>3</sub>) ส่วนเงื่อนไขที่ได้ทำการศึกษาเปรียบเทียบระหว่างเซนเซอร์อุตสาหกรรมที่ทำมาจาก W-ZnO และเซนเซอร์อุตสาหกรรมที่ทำมาจาก

$W\text{-ZnO}$  ที่เจือด้วยอนุภาคนาโนของทองคำ ซึ่งลักษณะสีของเซนเซอร์อุ่นอลที่ทำมาจาก  $W\text{-ZnO}$  ที่เจือด้วยอนุภาคนาโนของทองคำจะเปลี่ยนสีจากสีขาวเป็นสีชมพู ผลการศึกษาลักษณะโครงสร้างทางกายภาพของเซนเซอร์อุ่นอลที่ได้สามารถสรุปได้ดังตารางที่ 4.3

ตารางที่ 4.3 น้ำหนักของสารที่เกี่ยวข้องกับเซนเซอร์อุ่นอล

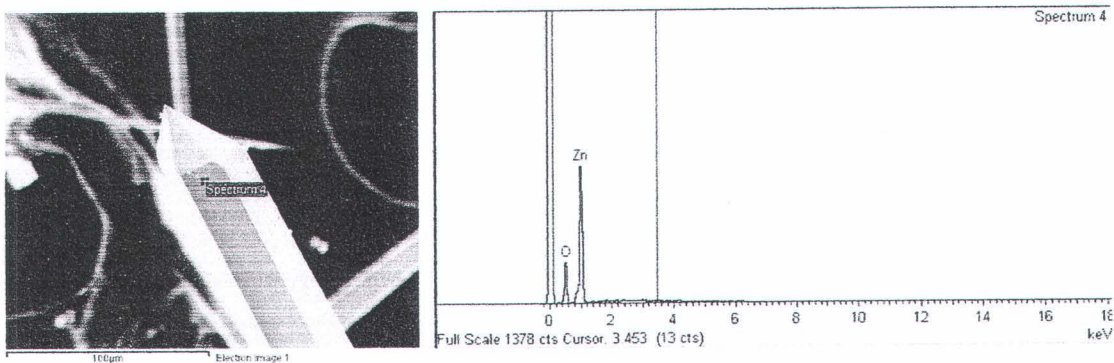
ตัวอย่าง	$\text{Al}_2\text{O}_3$ substrate (g)	$W\text{-ZnO}$ ( $\mu\text{g}$ )	น้ำหนักเฉลี่ย ( $\mu\text{g}$ )	0.1%mol ของอนุภาค ทองคำนาโน ( $\mu\text{l}$ )
1	$\sim 0.0360$	118	$\sim 119$	-
2		120		-
3		120		-
4		120		4.85
5		118		4.76
6		115		4.64

จากตารางที่ 4.3 พบว่า น้ำหนักของ  $W\text{-ZnO}$  ในแต่ละตัวอย่างจะมีค่าที่ไม่ต่างกัน โดยมีค่าเฉลี่ยอยู่ที่ประมาณ  $119 \mu\text{g}$  ซึ่งได้ควบคุมระยะห่างระหว่างขั้วอิเล็กโทรดที่จะใช้ทำเป็นเซนเซอร์อุ่นอลให้เท่ากัน ทั้งนี้หากระยะแตกต่างกันไปมากอาจส่งผลต่อค่าความไวต่อไอของเซนเซอร์อุ่นอลได้ในเรื่องของพื้นที่การเข้าทำปฏิกิริยาที่บริเวณพื้นผิว ส่วนเซนเซอร์อุ่นอลที่เจือด้วยอนุภาคนาโนของทองคำเจือด้วยปริมาณที่น้อยมากจึงไม่ส่งผลการเปลี่ยนแปลงน้ำหนักของเซนเซอร์อุ่นอล โดยปริมาณการเจืออยู่ที่ปริมาณ  $0.1 \% \text{mol}$

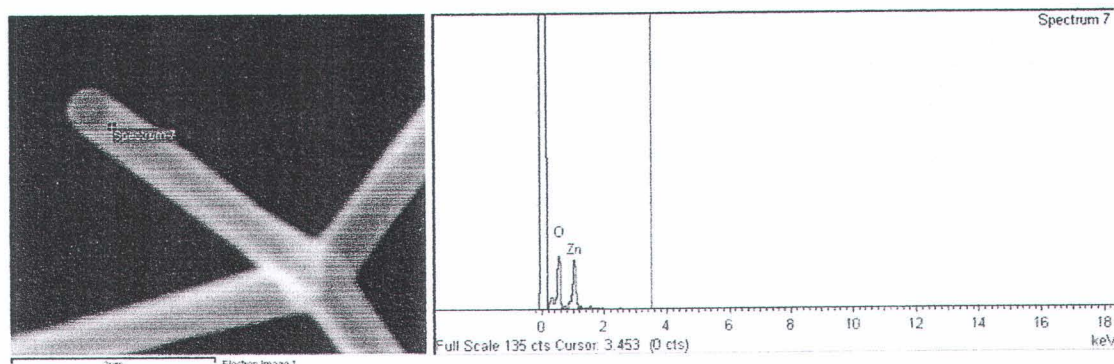
#### 4.3 ผลการวิเคราะห์องค์ประกอบทางเคมีด้วยเครื่อง EDS

เมื่อทำการวิเคราะห์ลักษณะโครงสร้างทางกายภาพของโครงสร้าง  $\text{ZnO}$  whiskers แล้วได้นำมาศึกษาวิเคราะห์องค์ประกอบทางเคมีด้วย EDS เพื่อยืนยันว่า สารที่สังเคราะห์ได้มีโครงสร้างของซิงก์โอกไซด์จริงอยู่หรือไม่ และเซนเซอร์อุ่นอลที่ทำจาก  $W\text{-ZnO}$  ที่เจือด้วยอนุภาคนาโน

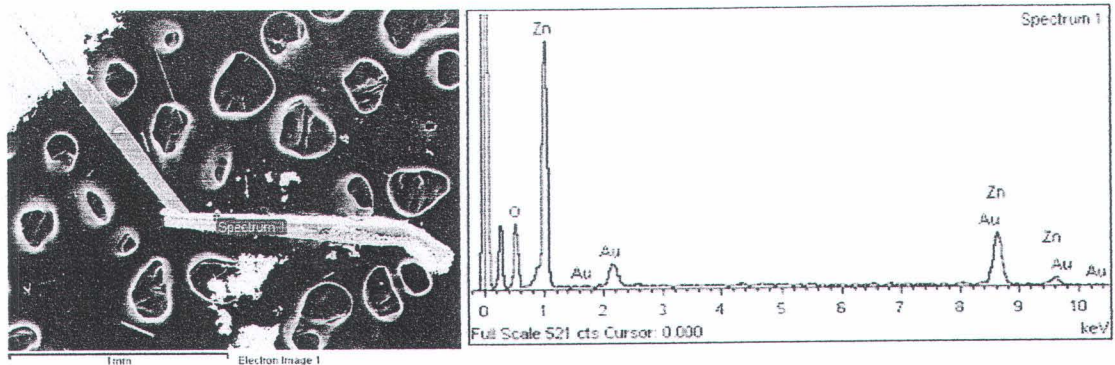
ของทองคำ มีทองคำเจืออยู่จริงหรือไม่ ซึ่งสรุปผลการวิเคราะห์องค์ประกอบทางเคมีของโครงสร้างของสารที่ทดสอบดังรูปที่ 4.6-4.8 และตารางที่ 4.4



รูปที่ 4.6 ตำแหน่งและスペกตรัมการวิเคราะห์องค์ประกอบทางเคมีด้วย EDS ของโครงสร้าง  $W\text{-ZnO}$  ที่สังเคราะห์ได้



รูปที่ 4.7 ตำแหน่งและスペกตรัมการวิเคราะห์องค์ประกอบทางเคมีด้วย EDS ของโครงสร้าง  $W\text{-ZnO}$  ที่สังเคราะห์ได้



รูปที่ 4.8 คำແහນ່ງແລະສປັກຕົມກາວວິເຄຣະຫຼອງຄົ່ນກອບທາງເຄີມື້ວຍ EDS ຂອງໂຄຮງສ້າງ  $W\text{-}\text{ZnO}$  ທີ່ເຈື້ອດ້ວຍອນຸກາຄານາໂນຂອງທອງຄໍາ

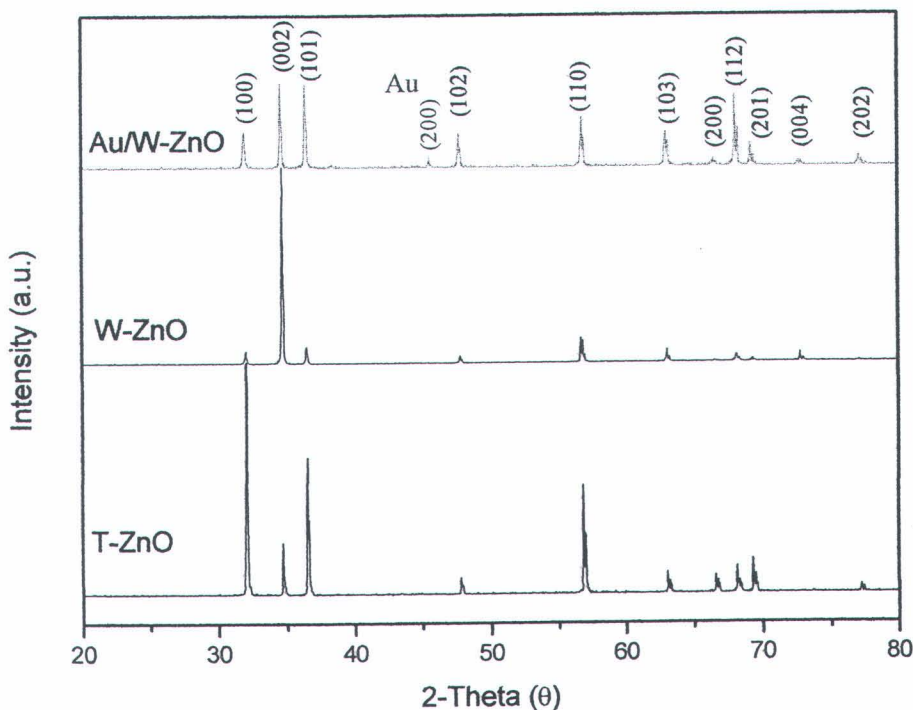
ตารางที่ 4.4 สັດສ່ວນອົງຄົ່ນກອບທາງເຄີມື້ອງໂຄຮງສ້າງ  $\text{ZnO}$  whiskers ແລະ ໂຄຮງສ້າງ  $\text{ZnO}$  whiskers ທີ່ເຈື້ອດ້ວຍອນຸກາຄານາໂນຂອງທອງຄໍາ

Element	Atomic (%)			Weight (%)		
	0% mol Au $W\text{-}\text{ZnO}$	0% mol Au $T\text{-}\text{ZnO}$	0.1% mol Au $W\text{-}\text{ZnO}$	0% mol Au $W\text{-}\text{ZnO}$	0% mol Au $T\text{-}\text{ZnO}$	0.1% mol Au $W\text{-}\text{ZnO}$
Zn	47.65	44.19	61.80	79.25	76.41	80.77
O	52.35	55.81	36.26	20.75	23.59	11.60
Au	-	-	1.94	-	-	7.63-
Total	100			100		

จากผลກາວວິເຄຣະຫຼອງຄົ່ນກອບທາງເຄີມື້ອງໂຄຮງສ້າງ  $\text{ZnO}$  whiskers ທີ່ແບບ  $W\text{-}\text{ZnO}$  ແລະ  $T\text{-}\text{ZnO}$  ທີ່ສັງເຄຣະຫຼີ້ໄດ້ໂດຍ EDS ພົບວ່າໂຄຮງສ້າງທີ່ສັງເຄຣະຫຼີ້ໄດ້ປະກອບໄປດ້ວຍ ຮາຕູຊີງກໍ (Zn) ແລະ ອອກຊີເຈນ (O) ເທົ່ານັ້ນ ແສດວ່າ  $W\text{-}\text{ZnO}$ ,  $T\text{-}\text{ZnO}$  ທີ່ສັງເຄຣະຫຼີ້ໄດ້ເປັນຊີງກໍອກໃຊ້ດ້ວຍ ສໍາຮັນໃນໂຄຮງສ້າງ  $W\text{-}\text{ZnO}$  ທີ່ເຈື້ອດ້ວຍອນຸກາຄານາໂນຂອງທອງຄໍາ 0.1%mol ຈະພົບພຶກຂອງທອງຄໍາ ປຽກງູ້ນິ້ນດ້ວຍ ສຽງໄດ້ວ່າມີອົງຄົ່ນກອບຂອງທອງຄໍາໃນໂຄຮງສ້າງ  $W\text{-}\text{ZnO}$  ທີ່ສັງເຄຣະຫຼີ້ແລະນຳມາ ປະຢູກຕີໃຫ້ກຳເປົ້າເປັນເໜີເຊື່ອທານອລ

#### 4.4 ผลการวิเคราะห์โครงสร้างทางผลึกด้วย XRD

การศึกษาโครงสร้างทางผลึกด้วย XRD โดยใช้ค่าความยาวคลื่นของรังสีเอกซ์ ( $\lambda$ ) เท่ากับ  $1.54056 \text{ \AA}$  ผลการวิเคราะห์ที่ได้ พบว่า สารที่สังเคราะห์เป็นชิ้งก์ออกไซด์โดยได้เทียบกับข้อมูลมาตรฐานของ Joint Committee on Power Diffraction Standard (JCPDS)-International Centre for Diffraction Data เพื่อยืนยันผลที่อ่านได้ ซึ่งพิกัดทั้งหมดที่ปรากฏขึ้นดังรูปที่ 4.9 พบว่าโครงสร้างของ  $W\text{-ZnO}$  ที่ได้มีโครงสร้างผลึกเป็นแบบ hexagonal เทียบกับ  $ZnO$  no. 89-0510 JCPDS ค่า lattice parameter  $a = 3.2493 \text{ \AA}$  และ  $c = 5.2052 \text{ \AA}$  โครงสร้าง  $T\text{-ZnO}$  ที่ได้มีโครงสร้างผลึกเป็นแบบ hexagonal เทียบกับ  $ZnO$  no. 89-0510 JCPDS ค่า lattice parameter  $a = 3.2480 \text{ \AA}$  และ  $c = 5.2050 \text{ \AA}$  และเมื่อวิเคราะห์  $W\text{-ZnO}$  ที่เจือด้วยอนุภาคนาโนของทองคำ  $0.1\% \text{ mol}$  เทียบกับ Gold no. 04-0784 JCPDS ซึ่งปรากฏพิกัดของทองคำ ซึ่งค่า lattice parameter  $a = 3.2511 \text{ \AA}$  และ  $c = 5.2087 \text{ \AA}$  การปรากฏขึ้นเพียงเล็กน้อยของพิกัดของทองคำอาจเนื่องด้วยปริมาณการเจือที่น้อยมากๆ เมื่อเทียบกับปริมาณของ  $W\text{-ZnO}$  สรุปผลการวิเคราะห์ได้ดังตารางที่ 4.5-4.7



รูปที่ 4.9  $T\text{-ZnO}$  เทียบกับ  $ZnO$  no. 89-0510 JCPDS

ตารางที่ 4.5 ค่า lattice parameter จากผลการวิเคราะห์โครงสร้างผลึกด้วย XRD ของ W-ZnO

ตารางที่ 4.6 ค่า lattice parameter จากผลการวิเคราะห์โครงสร้างผลึกด้วย XRD ของ T-ZnO

ตารางที่ 4.7 ค่า lattice parameter จากผลการวิเคราะห์โครงสร้างผลึกด้วย XRD ของ Au/W-ZnO

Conditions	2 Theta	d-spacing	The lattice parameter					
			ผลการวิเคราะห์		JCPDS ZnO no. 89-0510 Au no. 04-0784		ความคลาดเคลื่อน	
			a (Å)	c (Å)	a (Å)	c (Å)	a	c
W-ZnOG	31.968	2.7973	3.2495	5.2087	3.2480	5.2050	0.05%	0.07%
	34.640	2.5874						
	36.465	2.4620						
	47.727	1.9040						
	56.760	1.6206						
	63.000	1.4743						
	66.614	1.4028						
	68.106	1.3756						
	69.232	1.3560						
	72.711	1.2994						
Gold	77.135	1.2356						
	38.351	2.3452	4.1371	-	4.0780	-	1.05%	-
	45.600	1.9878						
	64.515	1.4432						
	77.382	1.2322						

สำหรับ W-ZnO ค่า lattice parameter a และ c ที่ได้มีค่ามากกว่าค่าที่ได้จากฐานข้อมูลมาตรฐาน (JCPDS no. 89-0510, a = 3.2493 Å และ c = 5.2052 Å) เพียงเล็กน้อย จากตารางที่ 4.5 มีค่าความคลาดเคลื่อน 0.04% และ 0.004 ตามลำดับ ส่วน Au/W-ZnO ในตารางที่ 4.7 มีความคลาดเคลื่อน 0.05% และ 0.07% ตามลำดับ

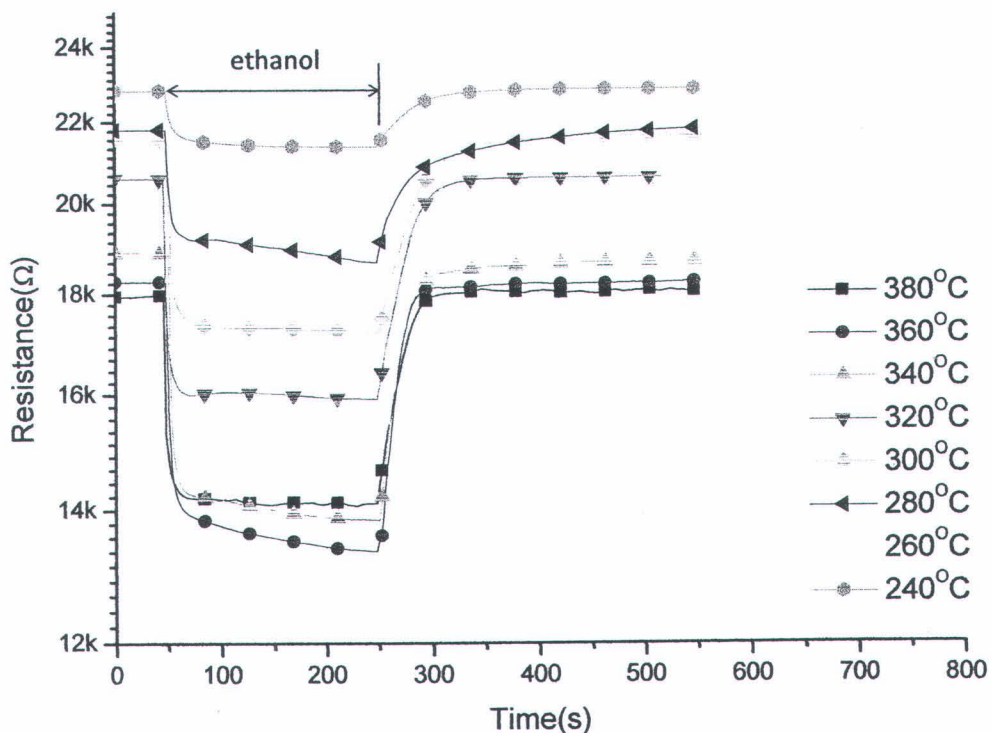
สำหรับ T-ZnO ค่า lattice parameter a และ c ของเตตระโพดที่ได้มีค่ามากกว่าค่าที่ได้จากฐานข้อมูลมาตรฐาน (JCPDS no. 89-0510, a = 3.2493 Å และ c = 5.2052 Å) เพียงเล็กน้อย จากตารางที่ 4.6 มีค่าความคลาดเคลื่อน 0.09% และ 0.07% ตามลำดับ

เมื่อพิจารณาจากองค์ประกอบทางเคมี EDS ของ Au/W-ZnO พบว่าค่าเนลลี่เปอร์เซ็นต์ อะตอมของ Au มีค่าประมาณ 1.94% ซึ่งมีน้อย แต่ในส่วนของ Zn และ O มีค่าประมาณ 61.80% และ 36.26% ตามลำดับ ตามตารางที่ 4.4 จึงถือได้ว่า Au มีปริมาณน้อยจึงทำให้พื้นของ XRD ที่ได้ไม่ค่อยชัดเจน

## 4.5 ผลการศึกษาสมบัติการตรวจจับก๊าซของเซนเซอร์อุ่นออกอลที่ใช้ $W\text{-ZnO}$ เป็นฐาน

### 4.5.1 ผลการทดสอบไออกานอลของเซนเซอร์อุ่นออกอลที่ใช้ $W\text{-ZnO}$ เป็นฐาน

นำ  $W\text{-ZnO}$  เพาที่อุณหภูมิ  $700^{\circ}\text{C}$  มาประกอบเป็นเซนเซอร์อุ่นออกอลและนำมาทดสอบกับไออกานอลที่ความเข้มข้น  $50\text{-}1000 \text{ ppm}$  ที่อุณหภูมิทดสอบตั้งแต่  $240\text{-}380^{\circ}\text{C}$  โดยใช้เวลาในการปล่อยไออกานอล  $200$  วินาที ดังรูปที่ 4.10 พบว่าที่อุณหภูมิทดสอบ  $340^{\circ}\text{C}$  เซนเซอร์อุ่นออกอลมีความด้านทานเริ่มต้นที่ค่อนข้างต่ำอยู่ในระดับ  $10\text{ k}\Omega$  และความด้านทานมีการเปลี่ยนแปลงน้อย ทำให้ได้ค่าสgap ไวค่อนข้างต่ำตามไปด้วย โดยค่าความไวที่ได้มีค่าสูงสุดประมาณ  $1.369$  ที่ไออกานอลความเข้มข้น  $1000 \text{ ppm}$  รวมถึงมีเวลาในการตอบสนอง (response time) และเวลาในการคืนตัวกลับ (recovery time) ที่ค่อนข้างเร็ว ดังตารางที่ 4.8



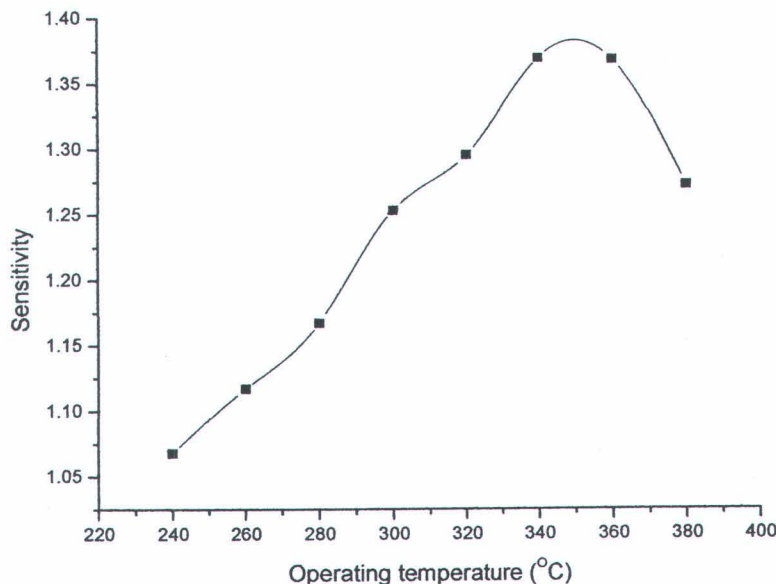
รูปที่ 4.10 การตอบสนองต่อไออกานอลที่ความเข้มข้น  $1000 \text{ ppm}$  ของอุ่นออกอลเซนเซอร์ที่ใช้  $W\text{-ZnO}$  เป็นฐานที่อุณหภูมิทดสอบต่างๆ

ตารางที่ 4.8 สภาพไว เวลาในการตอบสนอง และเวลาในการคืนตัวกลับที่ไออุตสาหกรรมเพิ่มขึ้น 1000 ppm ของอุตสาหกรรมอลเซนเซอร์ที่ใช้ W-ZnO เป็นฐานที่อุณหภูมิทดสอบต่างๆ

Operating temperature (°C)	Sensitivity ( $R_a/R_g$ )	Response time (s)	Recovery time (s)
240	1.068	34.60	72.98
260	1.117	17.88	90.30
280	1.167	108.87	89.00
300	1.253	11.81	69.31
320	1.295	7.59	50.37
340	1.369	11.41	37.31
360	1.367	6.88	33.41
380	1.272	8.97	37.85

จากตารางที่ 4.8 พบว่าเมื่ออุณหภูมิเพิ่มขึ้น ค่าความไวจะมีแนวโน้มที่เพิ่มขึ้น และเมื่ออุณหภูมิเพิ่มจนถึงระดับหนึ่งค่าความไวจะเริ่มลดลง ซึ่งค่าความไวที่ได้อาจจะไม่แตกต่างอย่างมีนัยสำคัญ แต่ก็แสดงให้เห็นว่ามีอุณหภูมิที่เหมาะสมสมค่าหนึ่งที่ทำให้อุตสาหกรรมอลเซนเซอร์มีการตอบสนองได้ดีที่สุด ซึ่งจากการทดลองค่าความไวต่อการตอบสนองสูงที่สุดอยู่ที่อุณหภูมิ 340°C มีค่าเวลาในการตอบสนอง 11.41 วินาที และมีค่าเวลาในการคืนตัว 37.31 วินาที

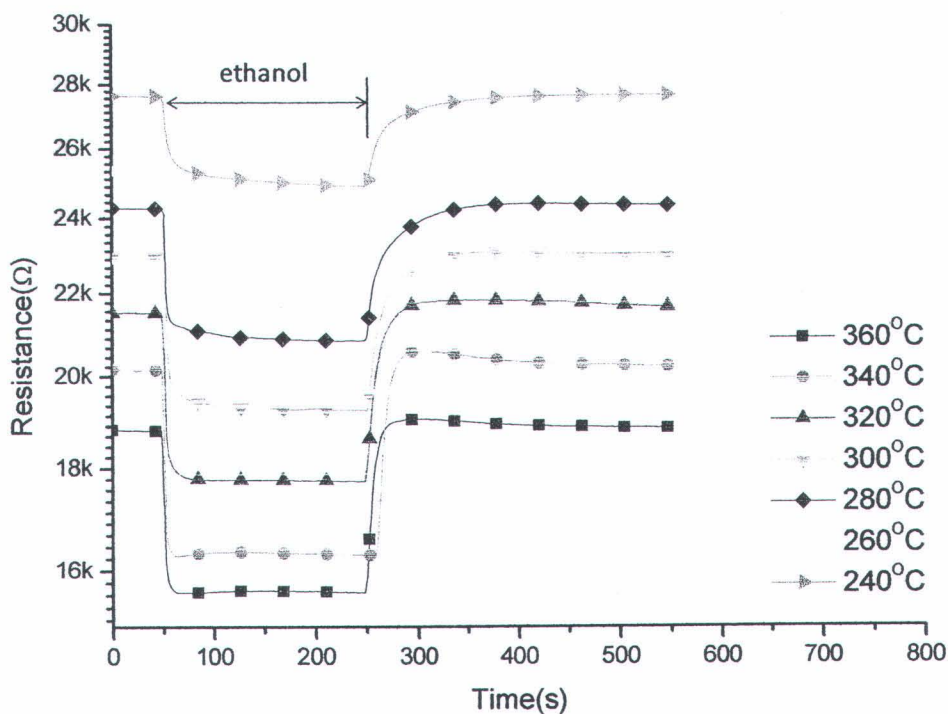
เมื่อพิจารณาค่าเวลาในการตอบสนองและเวลาในการคืนตัวของอุตสาหกรรมอลเซนเซอร์จะเห็นว่าในช่วงหนึ่งเมื่ออุณหภูมิเพิ่มขึ้น เวลาในการตอบสนองและเวลาในการคืนตัวของอุตสาหกรรมอลเซนเซอร์มีจะแนวโน้มของเวลาที่ใช้น้อยลง จากค่าเวลาในการตอบสนองของอุตสาหกรรมอลเซนเซอร์ที่อุณหภูมิ 360°C มีค่าเวลาในการตอบสนองเร็วที่สุดคือ 6.88 วินาที ส่วนเวลาในการคืนตัวมีที่อุณหภูมิ 360°C มีค่าเวลาที่น้อยที่สุด คือ 33.41 วินาที แต่เมื่อพิจารณาดูค่าความไวต่อไออุตสาหกรรมอลเซนเซอร์ที่อุณหภูมิ 340°C มีค่าสูงที่สุดและเวลาในการตอบสนองกับเวลาในการคืนตัวเมื่อเทียบกับที่อุณหภูมิอื่นๆ ไม่ต่างกันมากนัก ดังนั้นที่อุณหภูมิ 340°C ถือได้ว่ามีความเหมาะสมที่สุดที่จะเลือกใช้อุณหภูมนี้เป็นเงื่อนไขที่ดีที่สุด เมื่อนำค่าความไวต่อไออุตสาหกรรมที่ความเพิ่มขึ้น 1000 ppm มาเขียนกราฟจะได้ดังรูปที่ 4.11



รูปที่ 4.11 ค่าสกัดไวต่อไออกานอลที่ความเข้มข้น 1000 ppm ของเอทานอลชนิดเชอร์ที่ใช้  $W\text{-ZnO}$  เป็นฐาน

#### 4.5.2 ผลการทดสอบไออกานอลของเซนเซอร์เอทานอลที่ใช้ $W\text{-ZnO}$ เจือด้วยอนุภาคนาโนของทองคำเป็นฐาน

เมื่อนำเซนเซอร์เอทานอลที่ใช้  $W\text{-ZnO}$  เป็นฐานเข่นเดียวกันกับในหัวข้อที่ 4.5.1 แต่ทำการเจือด้วยอนุภาคนาโนของทองคำในปริมาณ 0.1%mol มาทดสอบกับไออกานอลที่ความเข้มข้น 50-1000 ppm ที่อุณหภูมิทดสอบตั้งแต่ 240-360°C โดยใช้เวลาในการปล่อยไออกานอล 200 วินาที ดังรูปที่ 4.12 พบว่าเซนเซอร์เจือด้วยอนุภาคนาโนของทองคำมีความต้านทานเริ่มต้นที่สูงกว่าเซนเซอร์ที่ไม่ได้เจือเด็กน้อย ที่อุณหภูมิทดสอบ 340°C ซึ่งความต้านทานเริ่มต้นมีค่าที่ค่อนข้างต่ำอยู่ในระดับกิโลโอมห์มเข่นเดียวกัน และความต้านทานมีการเปลี่ยนแปลงน้อย ทำให้ได้ค่าความไวค่อนข้างต่ำตามไปด้วย ซึ่งพบว่าความเมื่อเจือด้วยอนุภาคนาโนของทองคำจะทำให้ความไวต่อไออกานอลของเซนเซอร์เอทานอลมีค่าลดลงเล็กน้อยทั้งนี้เนื่องจากในช่วงที่เซนเซอร์ได้รับไออกานอล ความต้านทาน  $R_g$  ของเซนเซอร์ที่เจือด้วยอนุภาคนาโนของทองคำจะมีความต้านทานที่สูงกว่าตอนที่ไม่ได้เจือ ทำให้ความไวมีค่าต่ำลงโดยค่าความไวที่ได้มีค่าสูงสุดประมาณ 1.236 ที่ไออกานอลความเข้มข้น 1000 ppm รวมถึงมีเวลาในการตอบสนอง (response time) และเวลาในการคืนตัวกลับ (recovery time) ที่ค่อนข้างเร็ว ดังแสดงในตารางที่ 4.9



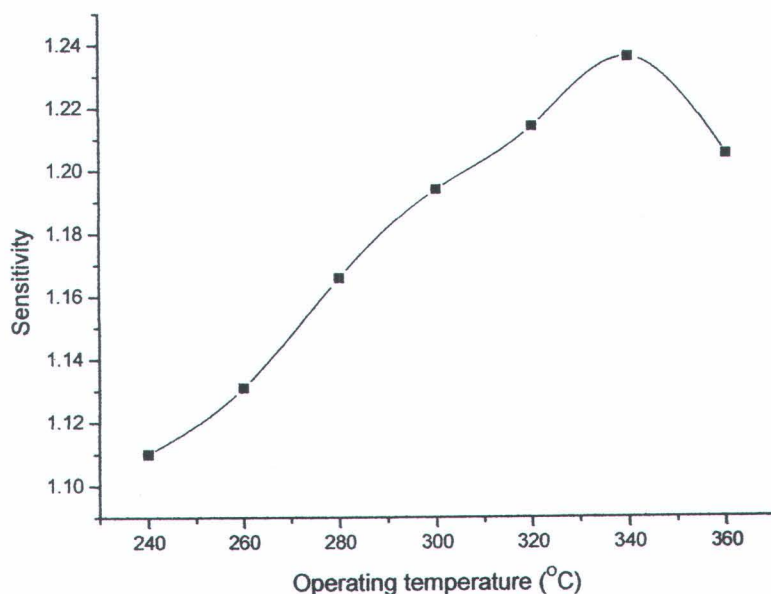
รูปที่ 4.12 การตอบสนองต่อ ไอเอทานอลที่ความเข้มข้น 1000 ppm ของเอทานอล เช่นเชอร์ที่ใช้  $W\text{-ZnO}$  เจือด้วยอนุภาคนาโนของทองคำเป็นฐานที่อุณหภูมิทดสอบต่างๆ

ตารางที่ 4.9 ค่าความไว เวลาในการตอบสนอง และเวลาในการคืนตัวกลับที่ ไอเอทานอลความเข้มข้น 1000 ppm ของเอทานอล เช่นเชอร์ที่ใช้  $W\text{-ZnO}$  เจือด้วยอนุภาคนาโนของทองคำเป็นฐานที่อุณหภูมิทดสอบต่างๆ

Operating temperature (°C)	Sensitivity ( $R_a/R_g$ )	Response time (s)	Recovery time (s)
240	1.110	56.67	73.11
260	1.131	13.24	62.72
280	1.166	18.69	59.94
300	1.194	17.46	41.48
320	1.214	8.56	22.43
340	1.236	4.80	15.36
360	1.205	4.09	12.83

จากตารางที่ 4.9 พบว่าค่าความไวต่อไออุตสาหกรรมเมื่ออุณหภูมิเพิ่มขึ้น มีแนวโน้มที่เพิ่มขึ้น ด้วยเช่นกัน และเมื่ออุณหภูมิเพิ่มจนถึงระดับหนึ่งค่าความไวจะเริ่มลดลงคล้ายกันในการปฏิไม้ໄได เจือด้วยอนุภาคนาโนของทองคำ แสดงให้เห็นว่ามีอุณหภูมิที่เหมาะสมค่าหนึ่งที่ทำให้ เอทานอล เชนเซอร์มีการตอบสนองได้ดีที่สุด ซึ่งจากการทดลองพบว่าค่าความไวสูงที่สุดอยู่ที่อุณหภูมิ  $340^{\circ}\text{C}$  มีค่าเวลาในการตอบสนอง 4.80 วินาที และมีค่าเวลาในการคืนตัวกลับ 15.36 วินาที

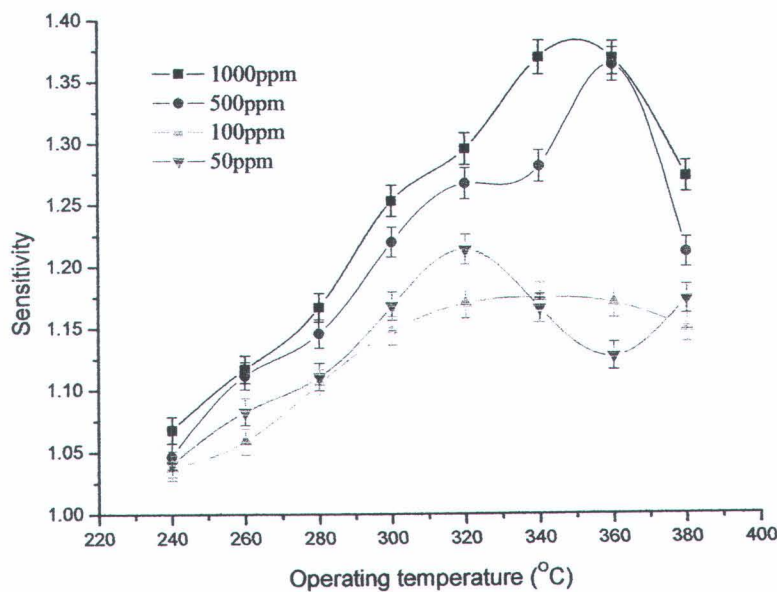
เมื่อพิจารณาค่าเวลาในการตอบสนองและเวลาในการคืนตัวกลับของเอทานอลเชนเซอร์ จะเห็นว่าเมื่ออุณหภูมิเพิ่มขึ้นเวลาในการตอบสนองและเวลาในการคืนตัวของเอทานอลเชนเซอร์มีจะแนวโน้มของเวลาที่ใช้น้อยลง โดยที่อุณหภูมิต่ำจะใช้เวลามากกว่าที่อุณหภูมิสูง ซึ่งจะเห็นได้ชัดจากค่าเวลาในการคืนตัวของเอทานอลเชนเซอร์ที่อุณหภูมิ  $360^{\circ}\text{C}$  เวลาในการคืนตัวมีค่าที่น้อยที่สุดคือ 12.83 วินาที แต่มีพิจารณาดูค่าความไวต่อไออุตสาหกรรมของเอทานอลเชนเซอร์ที่อุณหภูมิ  $340^{\circ}\text{C}$  มีค่าสูงที่สุดและเวลาในการตอบสนองกับเวลาในการคืนตัวกลับเมื่อเทียบกับที่อุณหภูมิอื่นๆ ถือว่า เหมาะสมกว่า ดังนั้นที่อุณหภูมิ  $340^{\circ}\text{C}$  ถือได้ว่ามีความเหมาะสมที่สุดที่จะเลือกใช้อุณหภูมนี้เป็นเงื่อนไขที่ดีที่สุด จากการทดลองพบว่าความไวต่อไออุตสาหกรรมที่ความเข้มข้น 1000 ppm มีค่าเปลี่ยนไปเมื่ออุณหภูมิเปลี่ยนไปดังแสดงในรูปที่ 4.13



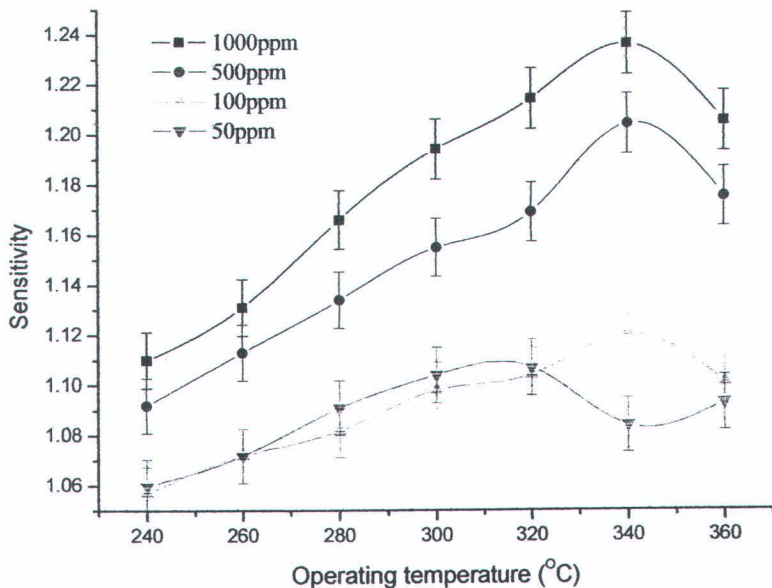
รูปที่ 4.13 ค่าสภาพไวในการตอบสนองต่อไออุตสาหกรรมที่ความเข้มข้น 1000 ppm ของเอทานอลเชนเซอร์ที่ใช้  $\text{W-ZnO}$  เจือด้วยอนุภาคนาโนของทองคำเป็นฐาน

### 4.5.3 ผลการทดสอบไออกานอลที่อุณหภูมิและความเข้มข้นต่างๆ กัน

เมื่อนำเอทานอลเชอร์ที่ใช้  $W\text{-ZnO}$  ที่เผาด้วยอุณหภูมิ  $700^\circ\text{C}$  เป็นฐานมาทดสอบกับไออกานอลที่ความเข้มข้น  $50\text{-}1000 \text{ ppm}$  ที่อุณหภูมิทดสอบตั้งแต่  $240\text{-}360^\circ\text{C}$  โดยใช้เวลาในการปล่อยไออกานอล  $200$  วินาที ได้ผลดังแสดงในรูปที่ 4.14 พบว่า ค่าความไวจะมีแนวโน้มเพิ่มขึ้นตามความเข้มข้นของไออกานอล และเมื่อพิจารณาผลของการเจือด้วยอนุภาคนาโนของทองคำ พบร่วมกับเอทานอลเชอร์ที่เจือด้วยอนุภาคนาโนของทองคำปริมาณ  $0.1\%\text{mol}$  จะมีค่าความไวที่เพิ่มขึ้นตามความเข้มข้นของไออกานอลเช่นกัน แต่จะมีค่าความไวไม่ต่างกันเมื่อทดสอบกับไออกานอลที่ความเข้มข้นต่างๆ และมีค่าต่ำกว่าเงื่อนไขที่ไม่ได้เจือด้วยอนุภาคนาโนของทองคำค่าความไวสูงสุดที่อุณหภูมิทดสอบ  $340^\circ\text{C}$  ที่ทุกๆ ความเข้มข้นของไออกานอล ดังรูปที่ 4.15 หากเมื่อเปรียบเทียบกับรูปที่ 4.14 เอทานอลเชอร์ที่ใช้  $W\text{-ZnO}$  เป็นฐานที่ไม่ได้เจือด้วยอนุภาคนาโนของทองคำจะได้มีค่าความไวสูงสุดที่อุณหภูมิทดสอบ  $340^\circ\text{C}$  ซึ่งจะเห็นได้ว่าอุณหภูมิทดสอบมีค่าเท่ากัน

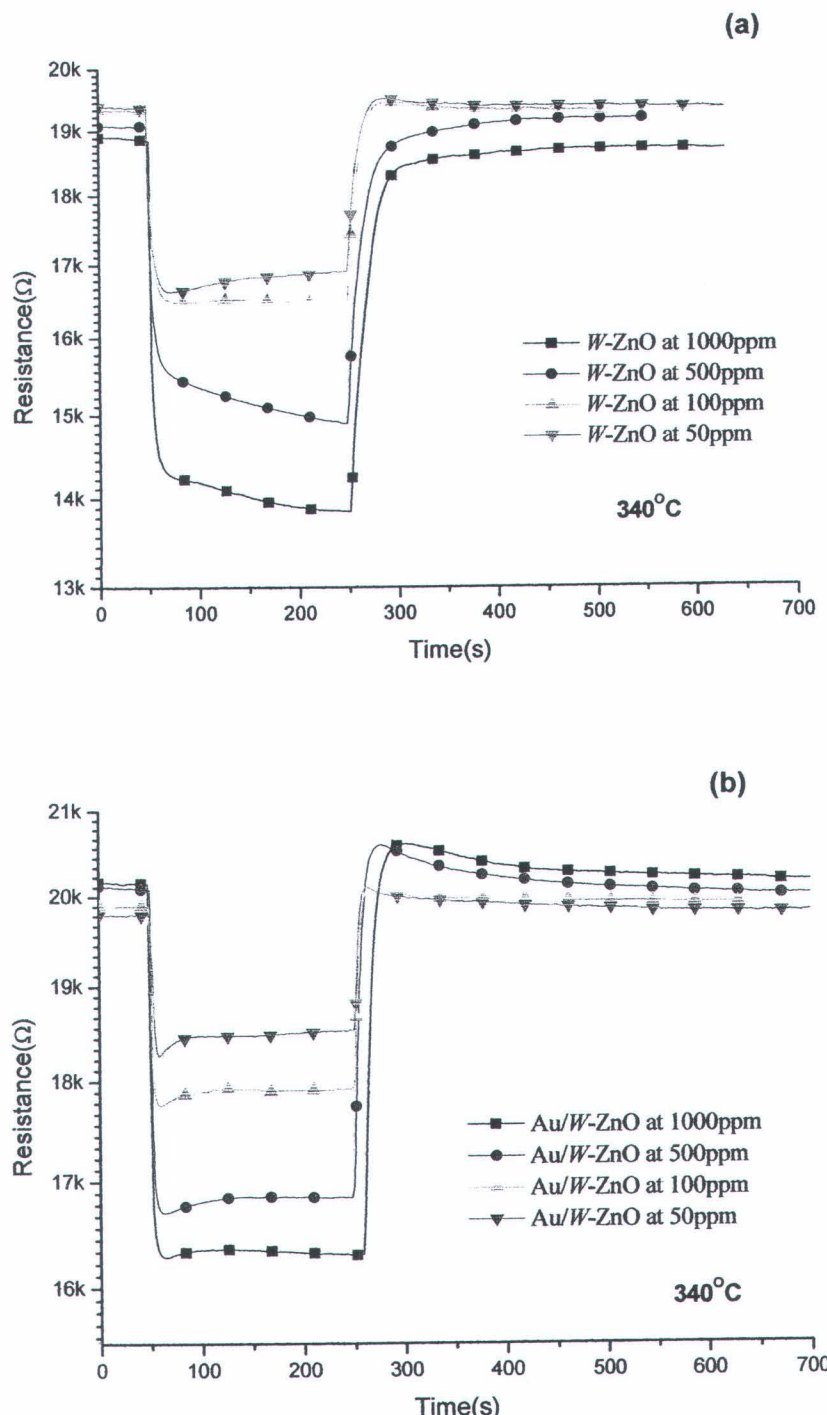


รูปที่ 4.14 ค่าสภาพไวในการตอบสนองต่อไออกานอลของเอทานอลเชอร์ที่ใช้  $W\text{-ZnO}$  เป็นฐานที่อุณหภูมิและความเข้มข้นต่างๆ



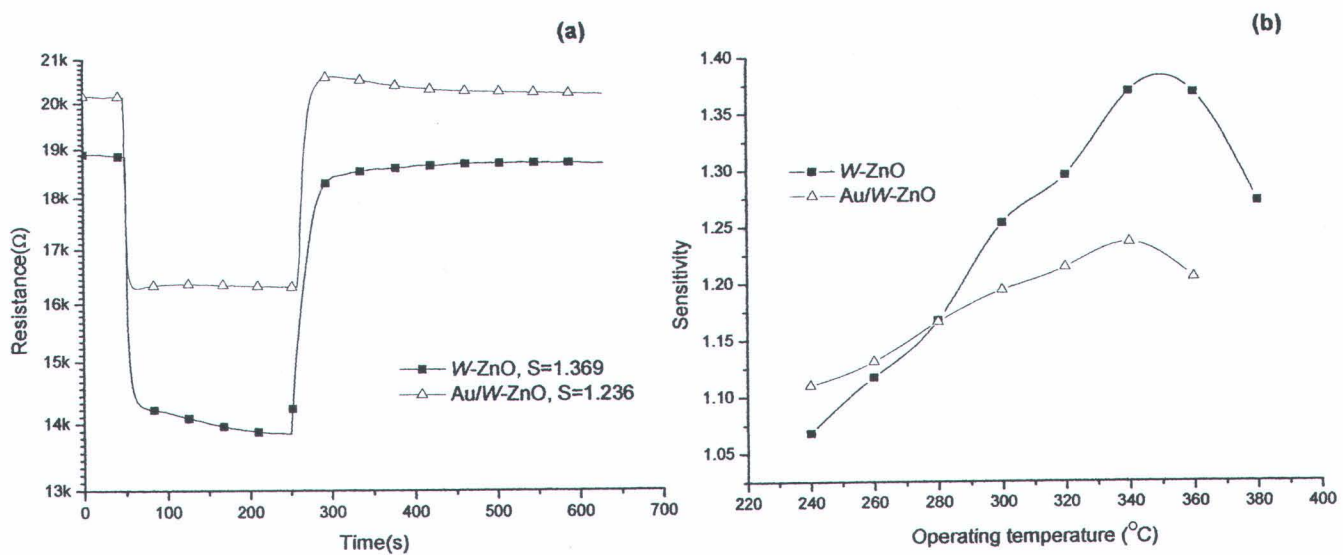
รูปที่ 4.15 ค่าสกัดไว้ในการตอบสนองต่อ ไออุตสาหกรรมของเอทานอลเซนเซอร์ ที่ใช้ W-ZnO เจือด้วยอนุภาคนาโนของทองคำ 0.1%mol เป็นฐาน ที่อุณหภูมิ และความเข้มข้นต่างๆ

เมื่อพิจารณาเปรียบเทียบกราฟของเอทานอลเซนเซอร์ที่ใช้ W-ZnO เป็นฐานและที่เจือด้วยอนุภาคนาโนของทองคำ 0.1%mol ในแต่ละความเข้มข้นของ ไออุตสาหกรรมตั้งแต่ 50-1000 ppm ที่ อุณหภูมิทดสอบ 340°C พบร่วมกันที่ความต้านทานสุดท้ายมีค่าเท่ากับความต้านทานขณะที่เมื่อปล่อยไออุตสาหกรรม ( $R_g$ ) ของเอทานอลเซนเซอร์ทั้งสองซึ่งมีค่าคล่องตามความเข้มข้นของ ไออุตสาหกรรมที่เพิ่มขึ้น [51, 53] ดังรูปที่ 4.16



รูปที่ 4.16 การตอบสนองต่อไออุ่นของอุปกรณ์ความเร็วขั้นต่างๆ ของอุปกรณ์เซนเซอร์  
 (a) ที่ใช้ W-ZnO เป็นฐานที่อุณหภูมิทดสอบ  $340^{\circ}\text{C}$  (b) ที่ใช้ W-ZnO เจือด้วย  
 อุบากานาโนของทองคำ 0.1%mol เป็นฐานที่อุณหภูมิทดสอบ  $340^{\circ}\text{C}$

เมื่อนำเอทานอลเซนเซอร์ที่ทำจาก W-ZnO เป็นฐานและเจือด้วยอนุภาคนาโนของทองคำ 0.1%mol มาทดสอบที่ความเข้มข้นของไออกอานอล 1000 ppm ที่อุณหภูมิทดสอบตั้งแต่ 240-360°C พบว่า เอทานอลเซนเซอร์ที่เจือด้วยอนุภาคนาโนของทองคำ จะมีค่าความไวต่อการตอบสนองไออกอานอลที่น้อยกว่าเมื่อไม่ได้เจือด้วยอนุภาคนาโนของทองคำเล็กน้อย ดังรูปที่ 4.17



รูปที่ 4.17 (a) การตอบสนองต่อไออกอานอลสูงสุดที่ความเข้มข้น 1000 ppm  
 (b) เปรียบเทียบค่าความไวของเอทานอลเซนเซอร์ ความเข้มข้นไออกอานอล 1000 ppm

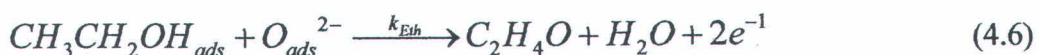
ค่าความไวในการตอบสนองต่อไออกอานอลของเอทานอลเซนเซอร์ที่ผลิตสามารถอธิบายได้ด้วยความสัมพันธ์ ตามสมการ [53]

$$S_g = \frac{R_a}{R_g} = \frac{\Gamma_t k_{Eth}(T) [O_{ads}^{ion}]^b [CH_3CH_2OH]^b}{n_0} + 1 \quad (4.2)$$

เมื่อค่า  $n_0$  แทน electron density ของเอทานอลเซนเซอร์ มีความสัมพันธ์แบบแปรผันผูกกับค่า  $S_g$  คือ ถ้าค่า  $n_0$  มีค่านากจะส่งผลให้ค่า  $S_g$  มีค่าน้อย และเมื่อคูลากรูปที่ 4.17 (a) ค่าความต้านทานในอากาศของเอทานอลเซนเซอร์ที่ทำจาก W-ZnO ที่เจือด้วยอนุภาคนาโนของทองคำจะมีค่าความต้านทานที่สูงกว่าเอทานอลเซนเซอร์ที่ทำจาก W-ZnO แสดงให้เห็นอย่างชัดเจนว่าเอทานอลเซนเซอร์ที่เจือด้วยอนุภาคนาโนของทองคำมีค่า  $n_0$  ที่ต่ำกว่า

สำหรับค่า  $[O_{ads}^{ion}]^b$  ขึ้นอยู่กับพื้นที่ผิวต่อปริมาตร ซึ่งในกรณีของ เอทานอลเชนเชอร์ที่ทำจาก  $W\text{-ZnO}$  พบร่วมกันที่ทำปฏิกิริยามีค่าคงที่  $S_g$  ที่สูงกว่า  $S_g$  ที่ทำจาก  $W\text{-ZnO}$  ที่ไม่ทำปฏิกิริยา

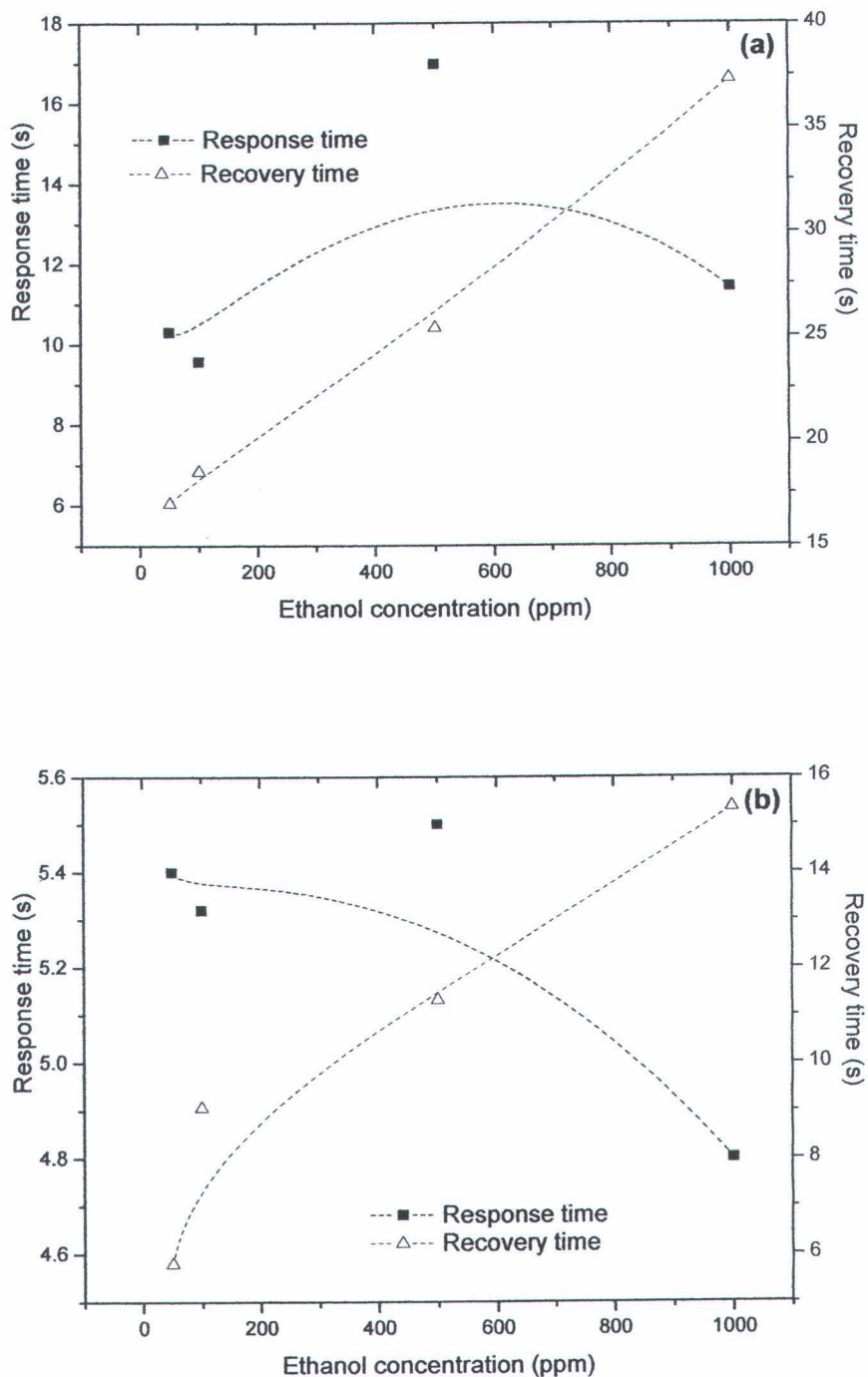
ส่วน  $k_{Eth}(T)$  แทนค่า reaction rate constant หรือ reaction rate coefficient ระหว่าง adsorbed oxygen ions กับ ethanol molecules ที่เข้าทำปฏิกิริยากัน มีความสัมพันธ์แปรผันตรงกับค่า  $S_g$  และค่า  $k_{Eth}(T)$  มีค่ามาก ค่า  $S_g$  ก็จะมีค่ามากไปด้วย จึงอาจพอสรุปได้ว่าอนุภาค nano ของทองคำซึ่งปกติเป็นตัวกระตุ้นหรือเร่งปฏิกิริยาที่ดี แต่เนื่องจากการที่อนุภาค nano ของทองคำทำให้พื้นที่ที่ทำปฏิกิริยาลดลงและทำให้ความหนาของบริเวณที่มีประจุลดลง ซึ่งจะทำให้ค่า  $k_{Eth}(T)$  ที่ต่ำลง ประกอบกับการที่เชนเชอร์มีพื้นที่ทำปฏิกิริยาที่จำกัดอยู่แล้ว ทำให้จุดอิ่มตัวมีค่าต่ำ จะเห็นได้จากการที่  $S_g$  ของเอทานอลเชนเชอร์ที่ทำจาก  $W\text{-ZnO}$  ที่เจือด้วยอนุภาค nano ของทองคำมีค่าต่ำกว่า เอทานอลเชนเชอร์ที่ทำจาก  $W\text{-ZnO}$  เล็กน้อย ดังสมการ



จากความสัมพันธ์ในเบื้องต้น สามารถแสดงผลที่สอดคล้องกับทฤษฎีได้จากรูปที่ 4.17 (a) เช่นกัน พบร่วมกับความต้านทานของเอทานอลเชนเชอร์ที่ทำจาก  $W\text{-ZnO}$  ที่เจือด้วยอนุภาค nano ของทองคำเมื่อเทียบกับ ไอเอทานอลแล้วจะมีความต้านทานที่เปลี่ยนหรือลดลงน้อยกว่าที่ไม่ได้เจือด้วยอนุภาค nano ของทองคำเล็กน้อย แสดงว่า ค่า  $k_{Eth}(T)$  ระหว่าง adsorbed oxygen ions กับ ethanol molecules ที่เข้าทำปฏิกิริยากันต่ำและเป็นไปตามทฤษฎีที่กล่าวมาเบื้องต้น

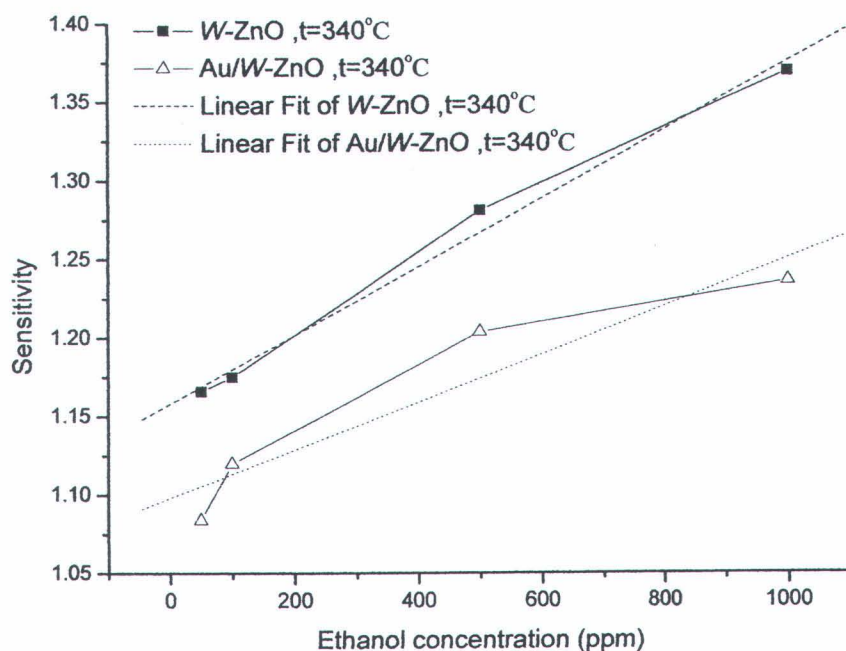
เมื่อพิจารณาเวลาการตอบสนองและเวลาการคืนตัวของเอทานอลเชนเชอร์ของห้องทดลอง เงื่อนไขต่อความเข้มข้น ไอเอทานอลที่แตกต่างกัน พบร่วมกับเวลาการตอบสนองของเอทานอลเชนเชอร์ที่ใช้  $W\text{-ZnO}$  เป็นฐานจะเพิ่มขึ้นถึงค่าหนึ่งแล้วจะลดลงเมื่อความเข้มข้นของ ไอเอทานอลเพิ่มขึ้น ส่วนเวลาการตอบสนองของเอทานอลเชนเชอร์ที่ทำจาก  $W\text{-ZnO}$  ที่เจือด้วยอนุภาค nano ของทองคำจะมีค่าลดลงเรื่อยๆ ตามความความเข้มข้นของ ไอเอทานอลที่เพิ่มขึ้น ส่วนเวลาในการคืนตัวของเอทานอลเชนเชอร์ของห้องทดลองจะมีแนวโน้มเพิ่มขึ้นตามความเข้มข้นของ ไอเอทานอลที่เพิ่มขึ้น ดังรูปที่ 4.18 (a) และ (b)





รูปที่ 4.18 เวลาการตอบสนองและเวลาการคืนตัวกลับของอุกอาจอลเซนเซอร์ที่ใช้  
(a)  $W\text{-ZnO}$  เป็นฐานที่  $340^\circ\text{C}$  (b)  $W\text{-ZnO}$  ที่เจือด้วยอนุภาคนาโนของทองคำ  $0.1\%\text{mol}$   
เป็นฐานที่  $340^\circ\text{C}$

เมื่อพิจารณาสมบัติการตรวจจับไอลีอเทานอลที่ความเข้มข้นต่างๆ ของอุณหภูมิทดสอบที่ อุณหภูมิทดสอบที่ดีที่สุดของแต่ละเงื่อนไข ดังรูปที่ 4.19 พบว่าปริมาณการตอบสนองมีแนวโน้ม เพิ่มขึ้นตามความเข้มข้นของไอลีอเทานอล ซึ่งเป็นไปตามทฤษฎี ดังตารางที่ 4.10 และ 4.11 ตามลำดับ



รูปที่ 4.19 สมบัติการตรวจจับไอลีอเทานอลที่ความเข้มข้นต่างๆ ของอุณหภูมิทดสอบ ที่ดีที่สุดของแต่ละเงื่อนไข

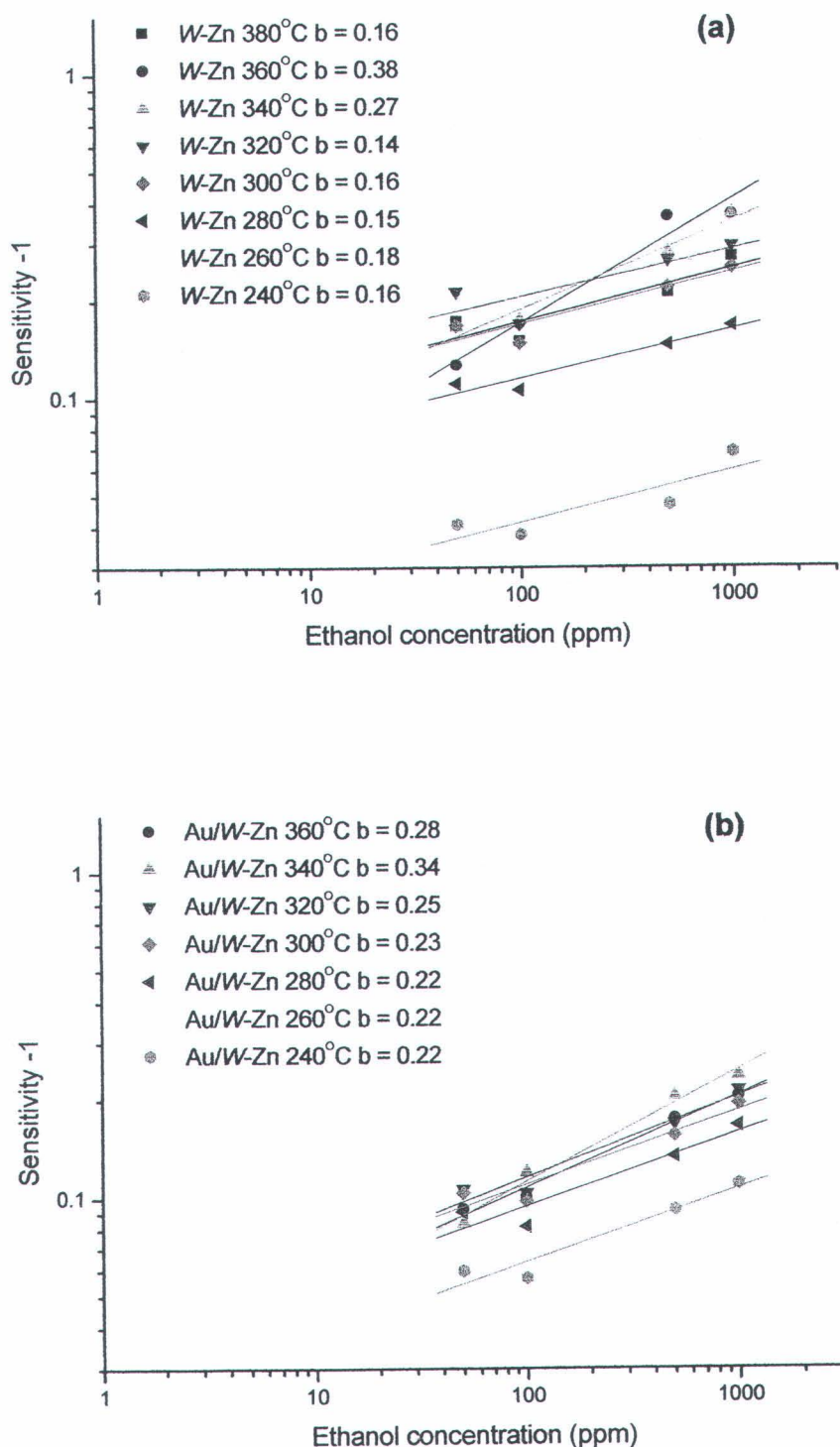
ตารางที่ 4.10 ปริมาณการตอบสนองของเอทานอลเชอร์ต่ออุณหภูมิทดสอบต่างๆ ที่ความเข้มข้น ไออกอิโซเอทานอล 1000 ppm

Operating temperature (°C)	Response % $\{[(R_a - R_g)/R_a] * 100\%\}$	
	W-ZnO	Au/W-ZnO
260	6	10
280	10	12
300	14	14
320	20	16
340	23	18
360	27	19

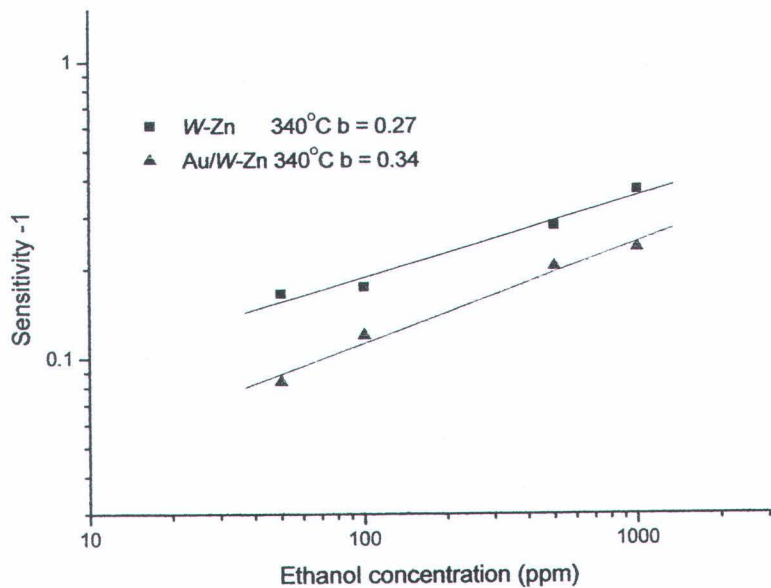
ตารางที่ 4.11 ปริมาณการตอบสนองของเอทานอลเชอร์ต่อความเข้มข้น ไออกอิโซเอทานอลต่างๆ ที่ อุณหภูมิทดสอบที่ดีที่สุดของแต่ละเงื่อนไข

Ethanol concentration (ppm)	Response % $\{[(R_a - R_g)/R_a] * 100\%\}$	
	W-ZnO	Au/W-ZnO
50	14	8
100	15	11
500	22	17
1000	27	19

จากการศึกษาผลการตรวจจับ ไออกอิโซเอทานอลของเอทานอลเชอร์ที่อุณหภูมิและความเข้มข้น ไออกอิโซเอทานอลต่างๆ เมื่อนำมาเขียนกราฟระหว่างค่าสภาพไวลูบหนึ่ง (S-1) และความเข้มข้น ของไออกอิโซเอทานอลที่ความเข้มข้นต่างๆ กัน เพื่อคำนวณหาค่า b ตามสมการที่ 2.10 ถ้า b มีค่าเท่ากับ 0.5 แสดงว่าออกซิเจนที่เกะบันพื้นผิวของโครงสร้างนาโนซิงก์ออกไซด์มีประจุเป็น  $O^{2-}$  และถ้า b มีค่าเท่ากับ 1 แสดงว่าออกซิเจนที่เกะบันพื้นผิวของโครงสร้างซิงก์ออกไซด์มีประจุเป็น  $O^-$  จากการทดลองหาค่า b ที่อุณหภูมิทดสอบต่างๆ กัน ของเอทานอลเชอร์ได้ค่าดังแสดงในรูปที่ 4.20 และตารางที่ 4.12 ตามลำดับ จากรูปที่ 4.21 แสดงค่า b ที่อุณหภูมิทดสอบที่ดีที่สุดของแต่ละเงื่อนไข พนว่าออกซิเจนที่เกะบันพื้นผิวส่วนใหญ่มีประจุเป็น  $O^{2-}$



รูปที่ 4.20 ค่า  $b$  ของเอทานอลเซนเซอร์ที่สร้างจาก (a)  $W\text{-ZnO}$  เป็นฐาน และ (b) เจือด้วยอนุภาคนาโนของทองคำ 0.1%mol

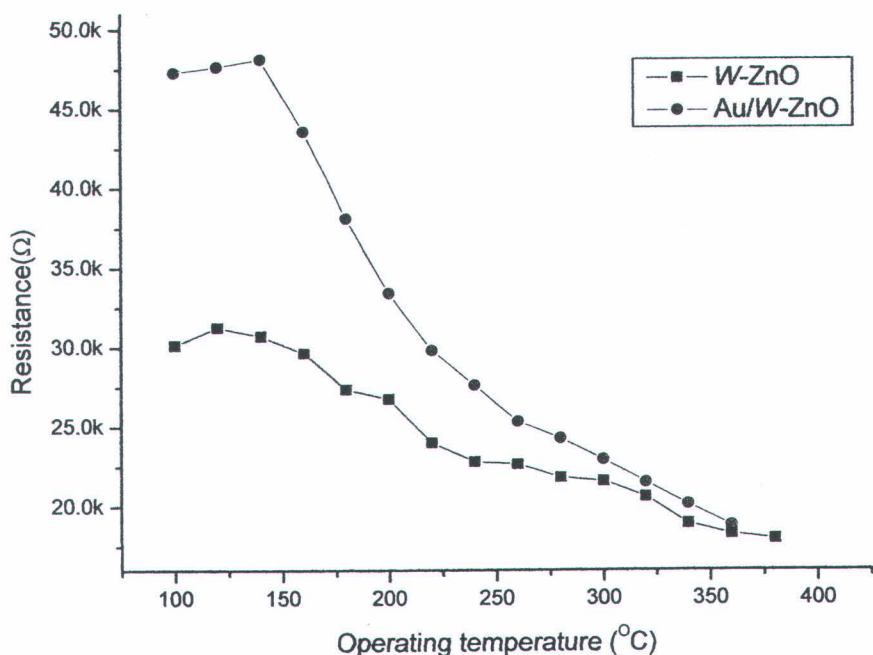


รูปที่ 4.21 ค่า b ของเอทานอลเซนเซอร์ที่สร้างจาก W-ZnO เป็นฐาน และเจือด้วยอนุภาคนาโนของทองคำ 0.1%mol ที่อุณหภูมิที่ดีที่สุดของแต่ละเงื่อนไข

ตารางที่ 4.12 ค่า b ของเอทานอลเซนเซอร์ตามเงื่อนไขต่างๆ

เงื่อนไข	Operating temperature (°C)	b	Oxygen species
W-ZnO	240	0.16	$\text{O}^{2-}$
	260	0.18	
	280	0.15	
	300	0.16	
	320	0.14	
	340	0.27	
	360	0.38	
	380	0.16	
Au/W-ZnO	240	0.22	$\text{O}^{2-}$
	260	0.22	
	280	0.22	
	300	0.23	
	320	0.25	
	340	0.34	
	360	0.28	

เมื่อนำเอทานอลเซนเซอร์ที่ทำจาก W-ZnO เป็นฐานและเจือด้วยอนุภาคนาโนของทองคำ 0.1%mol มาทดสอบที่ความเข้มข้นของไอเอทานอล 1000 ppm ที่อุณหภูมิทดสอบตั้งแต่ 100-360°C สามารถเขียนกราฟระหว่างความต้านทานของเอทานอลเซนเซอร์กับอุณหภูมิทดสอบได้ ดังรูปที่ 4.22 พบว่า เอทานอลเซนเซอร์ที่เจือด้วยอนุภาคนาโนของทองคำ จะมีความต้านทานในอากาศ ( $R_g$ ) มากกว่าเมื่อไม่ได้เจือด้วยอนุภาคนาโนของทองคำเล็กน้อย และความต้านทานของเซนเซอร์มีแนวโน้มที่จะลดลงเมื่ออุณหภูมิเพิ่มขึ้น ซึ่งเป็นพฤติกรรมของสารกึ่งตัวนำ



รูปที่ 4.22 ค่าความต้านทานของเอทานอลเซนเซอร์ที่อุณหภูมิทดสอบต่างๆ